



شناسایی ژنوتیپ‌های متحمل به خشکی در گندم دیم با استفاده از شاخص‌های تحمل به خشکی

مرتضی کامرانی^۱, اصغر مهربان^۲ و منوچهر شیری^۳

^۱- دانشیار، دانشگاه محقق اردبیلی، (توبنده مسؤول: kamrani@uma.ac.ir)

^۲- استادیار، مرکز تحقیقات، آموزش و ترویج کشاورزی استان اردبیل (مغان)، سازمان تحقیقات، آموزش و ترویج کشاورزی، اردبیل، ایران

^۳- استادیار، دانشگاه محقق اردبیل

تاریخ دریافت: ۹۶/۱۰/۱۶ تاریخ پذیرش: ۹۶/۱۰/۱۴

چکیده

در بین تنש‌های مختلف محیطی، خشکی تاثیر منفی بالایی بر روی میزان تولید محصولات دارد. به منظور بررسی تحمل خشکی در ژنوتیپ‌های گندم دیم، آزمایشی با ۳۶ ژنوتیپ گندم نان تهیه شده از سیمیت در دو شرایط دیم (تنش خشکی) و آبیاری تکمیلی در قالب طرح بلوک‌های کامل تصادفی با سه تکرار در سال زراعی ۱۳۹۵-۹۶ در مزرعه تحقیقاتی دانشکده کشاورزی و منابع طبیعی مغان مورد بررسی قرار گرفت. نتایج نشان داد که تفاوت معنی‌داری بین ژنوتیپ‌ها از نظر عملکرد دانه در هر دو شرایط دیم و آبیاری تکمیلی وجود داشت. تجزیه واریانس مرکب نشان داد که آبیاری تکمیلی باعث افزایش معنی‌دار عملکرد دانه گردید. در شرایط آبیاری تکمیلی ژنوتیپ‌های شماره ۲۲، ۳۴ و ۲۱ به ترتیب با میانگین ۱/۴۳، ۳/۰۸۹ و ۲/۹۲۱ تن در هکtar بالاترین عملکرد دانه را به خود اختصاص دادند. تحت شرایط دیم به بیشترین عملکرد دانه به میزان ۲/۶۴۷، ۲/۶۱۰ و ۲/۵۵۸ تن در هکtar به ترتیب مربوط به ژنوتیپ‌های شماره ۲۰، ۲۲ و ۲۷ بود. برای شناسایی ژنوتیپ‌های متحمل به خشکی، از شاخص‌های تحمل (TOL)، حساسیت به تنش (SSI)، میانگین بهره‌وری (MP)، میانگین هندسی بهره‌وری (GMP)، شاخص تحمل به تنش (STI) و شاخص پایداری عملکرد (YSI) استفاده شد. شاخص‌های MP، GMP و STI همبستگی بالایی با عملکرد تحت شرایط تنش و بدون تنش داشتند و به عنوان شاخص‌های مناسب برای گزینش ژنوتیپ‌های پرمحصلو در هر دو شرایط محیطی معرفی شدند. بر اساس تجزیه به مؤلفه‌های اصلی و نمودار سه بعدی، ژنوتیپ‌های شماره ۲۲، ۳۴ و ۱۵ به عنوان ژنوتیپ‌های مقاوم و ژنوتیپ‌های شماره ۷، ۱۷، ۱۴ و ۱ به عنوان حساس به تنش خشکی شناخته شدند. تجزیه خوش‌ای به روش Ward's بر پایه شاخص‌های تحمل به خشکی و عملکرد دانه در هر دو شرایط محیطی ژنوتیپ‌های مورد بررسی را در چهار گروه قرار داد که با نتایج تجزیه به مؤلفه‌های اصلی مطابقت داشت.

واژه‌های کلیدی: گندم نان، آبیاری تکمیلی، تنش خشکی، عملکرد دانه، شاخص‌های تحمل به تنش

بتوان با کمترین مقدار آب قابل دسترس، در طی مراحل حساس رشد گیاه زراعی، به عملکرد بهینه (به جای عملکرد حداکثر) دست یافت.

بولم (۴) در مطالعات خود بیان کرد که بیشترین کاهش عملکرد هنگام وقوع تنش بعد از گرده افشاری به دست می‌آید. دندا و سنتی (۸) نیز اظهار داشتند که تنش خشکی در مرحله گرده افشاری تا رسیدگی موجب کاهش عملکرد دانه می‌شود. کوبوتا و همکاران (۱۸) در آزمایشی بر روی گندم نان بهاره بیشترین تأثیر آبیاری تکمیلی بر عملکرد دانه را در مرحله گرده افشاری مشاهده نمودند.

در گذشته به دلیل محدود بودن روش‌های گزینش و اطلاعات در مورد نحوه مقاومت به تنش در محصولات زراعی، موفقیت در برنامه‌های اصلاح نباتات نیز محدود بوده است. به دلیل خسارات قابل توجهی که از تنش‌های محیطی به محصولات زراعی از جمله غلات وارد شده، در سال‌های اخیر بررسی واکنش گیاهان زراعی به تنش‌های محیطی بسیار مورد توجه قرار گرفته است (۲۴، ۳). روش‌های متعددی برای بررسی پایداری عملکرد ارقام در شرایط محیطی مختلف در دامنه وسیعی از شرایط آب و هوایی ارائه شده‌اند. مقایسه عملکرد در شرایط محیطی متضاد (تنش و بدون تنش) و گزینش ژنوتیپ‌هایی که

مقدمه

تنش‌های محیطی را می‌توان به دو دسته عمده تنش‌های زنده و غیرزنده تقسیم‌بندی کرد (۷). گیاهان در شرایط مزرعه‌ای در معرض تنش‌های غیرزنده متفاوتی مانند کمبود آب، دمای بالا، شوری و سرما قرار دارند. برآورد شده است که شرایط تنش‌زا می‌توانند به صورت بالقوه عملکرد گیاهان زراعی را بیش از ۵۰ درصد کاهش دهند (۳۲).

در مناطقی که میزان بارندگی برای رشد گیاه کافی باشد، ولی پراکنش باران متناسب با دوره رشد گندم نباشد، عملکرد دانه، به دلیل کمبود رطوبت به شدت کاهش خواهد یافت و حتی در شرایطی ممکن است کل محصول از بین برود. بنابراین در مناطقی که مقدار و پراکنش زمانی بارندگی نامتناسب است، آبیاری تکمیلی برای تولید مطلوب گندم دیم قابل توصیه است (۲۳). منظور از آبیاری تکمیلی، کاربرد مقدار محدودی آب در زمان توقف بارندگی است تا آب کافی برای تداوم رشد بوته‌ها و افزایش و ثبات عملکرد دانه تأمین شود (شرایط بدون تنش خشکی). بدیهی است این مقدار آب مصرفی به تنها برای تولید گیاه زراعی کافی نیست، بنابراین از ویژگی‌های ضروری آبیاری تکمیلی، طبیعت تکمیلی باران و آبیاری است (۳۱، ۳۲). مقدار و زمان آبیاری تکمیلی به صورتی برنامه‌ریزی می‌شود که

بر اساس GMP بنا نهاد. شاخص STI قادر به شناسایی^۵ ژنوتیپ‌های با عملکرد بالا تحت هر دو شرایط تنش و غیرتنش بوده و مقادیر بالای آن نشانگر تحمل بیشتر گیاه به خشکی است. شاخص پایداری عملکرد (YSI)^۶ که از نسبت عملکرد در شرایط تنش به شرایط بدون تنش محاسبه می‌شود، توسط YSI بوسالاما و شاپاگ^(۵) پیشنهاد شد. در واقع شاخص YSI نشان‌دهنده میزان مقاومت ژنتیکی رقم به تنش خشکی است. مقادیر عددی بیشتر از واحد در شاخص پایداری عملکرد نشان‌دهنده حساسیت ژنوتیپ و ضعف پایداری عملکرد در شرایط تنش می‌باشد.

سی و سه مرده و همکاران^(۳۰) با ارزیابی یازده ژنوتیپ گندم نان گزارش کردند که در شرایط تنش ملایم شاخص‌های MP، STI و GMP برای شناسایی ژنوتیپ‌های با عملکرد بالا در شرایط تنش و بدون تنش مناسب هستند. آقائی سربزه و روستائی^(۲) و ایلکر و همکاران^(۱۳) با مطالعه در گندم نان مشاهده نمودند که بین شاخص‌های MP، GMP و STI و عملکرد دانه در هر دو شرایط تنش و بدون تنش همبستگی مثبت و معنی‌داری وجود دارد و این شاخص‌ها قادر به شناسایی ژنوتیپ‌های با عملکرد بالا در هر دو شرایط تنش و بدون تنش می‌باشند. صبا و همکاران^(۲۷) و آقائی سربزه و روستائی^(۲) شاخص‌های MP، STI و GMP را شاخص‌های مؤثرتری نسبت به TOL و SSI به منظور گزینش ژنوتیپ‌های مقاوم به خشکی معرفی کردند.

هدف از این تحقیق بررسی تاثیر آبیاری تکمیلی بر روی صفت عملکرد دانه در ژنوتیپ‌های سازگار به تنش گندم نان و شناسایی ژنوتیپ‌های سازگار به تنش^(۱۱) دیم^(۱۲) (تنش خشکی) و آبیاری تکمیلی (بدون تنش) می‌باشد که در صورت بیشتر بودن عملکرد و تحمل خشکی این ژنوتیپ‌ها نسبت به شاهد به عنوان رقم جدید به کشاورزان معروفی کرد. همچنین تعیین بهترین شاخص‌ها جهت انتخاب ژنوتیپ‌های پر محصول و متتحمل به تنش خشکی می‌باشد.

مواد و روش‌ها

به منظور بررسی تاثیر آبیاری تکمیلی بر عملکرد دانه و شناسایی ژنوتیپ‌های متتحمل به تنش خشکی با استفاده از شاخص‌های تحمل به تنش^(۳۶)، ژنوتیپ گندم نان با منشاء سیمیت (جدول ۱) از موسسه تحقیقات اصلاح نهال و بذر تهیه شده و در قالب طرح بلوک‌های کامل تصادفی با ۳ تکرار در دو شرایط آبیاری تکمیلی و دیم در مزرعه تحقیقاتی دانشکده کشاورزی و منابع طبیعی مغان با طول جغرافیایی ۴۷ درجه و ۱۰ دقیقه و عرض جغرافیایی ۳۹ درجه و ۴۲ دقیقه در سال زراعی ۹۶-۱۳۹۵ مورد مطالعه قرار گرفتند. هر کرت آزمایشی شامل ۲۰ شش ردیف سه متري که فاصله ردیف‌ها از یکدیگر ۴۰۰ سانتی‌متر بود و ژنوتیپ‌ها با تراکم ۲ درصدند. قبل از کاشت، بذور با سم کربوکسی تیرام به میزان ۲ در

به هر دو محیط سازگارند، هدف اصلی این گونه آزمایش‌ها است (۱۰،۱۱). ارزیابی مواد پیشرفتنه اصلاحی در چنین شرایطی این امکان را فرآهم می‌آورد که علاوه بر شناسایی لاین‌های دارای پایداری عملکرد در هر دو شرایط، ژنوتیپ‌هایی شناسایی شوند که مناسب شرایط متفاوت رطوبتی باشند. گزینش تحت شرایط مطلوب، گزینش تحت شرایط تنش کامل و گزینش توان انتخاب هر دو شرایط سه استراتژی عمده‌ای هستند که برای انتخاب ارقام متتحمل به تنش پیشنهاد شده‌اند^(۶).

فرناندرز^(۱۱) براساس واکنش ژنوتیپ‌ها به شرایط محیطی با

تنش یا بدون تنش ژنوتیپ‌ها را به چهارگروه دسته‌بندی کرد: گروه A: ژنوتیپ‌هایی که عملکرد خوبی در دو محیط تنش و غیرتنش دارند.

گروه B: ژنوتیپ‌هایی که فقط عملکرد خوبی در محیط غیرتنش دارند.

گروه C: ژنوتیپ‌هایی که عملکرد خوبی در محیط تنش دارند.

گروه D: ژنوتیپ‌هایی که عملکرد پایین در هر دو محیط دارند.

شاخص‌های متفاوتی برای ارزیابی واکنش ژنوتیپ‌ها در شرایط محیطی مختلف و تعیین مقاومت و حساسیت آنها را به شده است. طبق نظر فراندرز^(۱۱) مناسبترین میارجهت انتخاب در محیط‌های تنش معیاری است که قادر به تشخیص گروه A از سایر گروه‌ها باشد و شاخص‌هایی که در دو محیط نرمال و تنش دارای همبستگی بالایی با عملکرد دانه باشند به عنوان بهترین شاخص‌ها معرفی می‌شوند. یکی از شاخص‌های انتخاب،

شاخص حساسیت به تنش (SSI)^(۱) می‌باشد که فیشر و مورر^(۱۲) آن را پیشنهاد دادند. مقدار کمتر SSI نشان‌دهنده تغییرات کم عملکرد یک ژنوتیپ در شرایط تنش و در نتیجه پایداری بیشتر آن است. یکی از مهم‌ترین معایب شاخص SSI این است که این شاخص نسبت عملکرد در شرایط تنش به شرایط بدون تنش را برای هر ژنوتیپ در مقایسه با این نسبت برای کل ژنوتیپ‌های موجود در آزمایش اندازه‌گیری می‌کند. لذا دو ژنوتیپ با عملکرد بالا و پایین می‌توانند مقدار SSI یکسانی داشته باشند، چون اختلاف عملکرد بین شرایط تنش و بدون

تنش برای هر دو ژنوتیپ می‌تواند یکسان باشد. بنابراین این شاخص قادر به تفکیک ژنوتیپ‌های گروه A از گروه C نمی‌باشد. روزیل و هامبلین^(۲۶) شاخص‌های تحمل (TOL)^۳ و میانگین بهره‌وری (MP)^۴ را معرفی نمودند. مقدار بالای TOL نشانه حساسیت ژنوتیپ به تنش بوده و انتخاب ژنوتیپ‌ها بر اساس مقادیر کم آن می‌باشد^(۱۹). فراندرز^(۱۱) شاخصی تحت عنوان میانگین هندسی بهره‌وری (GMP)^۴ معرفی کرد و به این مطلب اشاره نمود که هنگامکه اختلاف نسبی عملکرد دانه در شرایط تنش (Ys) و بدون تنش (Yp) زیاد باشد شاخص MP دارای اربیی به سمت Yp خواهد بود در حالی که شاخص GMP چنین اربیی را نخواهد داشت و به همین دلیل قادر به تفکیک بهتری از ژنوتیپ‌های گروه A می‌باشد و با توجه به این مسئله شاخص دیگری تحت عنوان شاخص تحمل به تنش

1- Stress susceptibility index

2- Tolerance

3- Mean productivity

4- Geometric mean productivity

5- Stress tolerance index

6- Yield stability index

همبستگی بین شاخص‌های تنش، تجزیه به مؤلفه‌های اصلی، ترسیم نمودار بای‌پلات و تجزیه کلاستر با استفاده از نرم‌افزار STATGRAPH version 16.1.11 Ward's بر مبنای مربع فاصله اقلیدسی انجام خوش‌های به روش Ward's قبل از انجام تجزیه، با استاندارد کردن داده‌ها، اثر مقیاس شد. قبل از انجام تجزیه، با استاندارد کردن داده‌ها، اثر مقیاس متغیرها حذف گردید و برای تعیین نقطه برش در دندروگرام و تعداد مناسب گروه‌ها از تجزیه تابع تشخیص کانونیک استفاده گردید. تجزیه به مؤلفه‌های اصلی نیز بر روی داده‌های استاندارد شده انجام شد.

نتایج و بحث تجزیه واریانس

نتایج حاصل از تجزیه واریانس ساده نشان داد که بین ژنوتیپ‌ها از نظر عملکرد دانه در شرایط آبیاری تکمیلی اختلاف معنی داری در سطح احتمال ۱ درصد وجود داشت و در شرایط دیم اختلاف معنی داری در سطح ۵ درصد مشاهده شد (جدول ۲) که بیانگر وجود تنوع ژنتیکی در بین ژنوتیپ‌های مورد مطالعه است. بنابراین می‌توان برای گزینش ژنوتیپ‌های مقاوم به تنش خشکی اقدام نمود. در شرایط آبیاری تکمیلی (بدون تنش) ژنوتیپ‌های شماره ۲۲، ۲۴، ۳۴ و ۲۱ به ترتیب با ۱/۱۴۳، ۳/۰۸۹ و ۲/۹۲۱ تن در هکتار بیشترین و ژنوتیپ‌های شماره ۷، ۱۷ و ۱۴ به ترتیب با ۱/۰۰۲، ۱/۰۹۰ و ۲/۰۴۲ تن کمترین عملکرد دانه را داشتند. در شرایط دیم (تنش خشکی) ژنوتیپ‌های شماره ۲۰، ۲۰ و ۲۲ به ترتیب با ۲/۶۴۷، ۲/۶۱۰ و ۲/۵۵۸ تن در هکتار و ژنوتیپ‌های شماره ۶، ۱۷ و ۱ به ترتیب با ۱/۶۹۰، ۱/۷۳۰ و ۱/۷۷۸ تن در هکتار بیشترین و کمترین عملکرد دانه را داشتند. تجزیه واریانس مرکب داده‌ها (جدول ۳) نشان داد که اثر رژیم آبیاری بر روی عملکرد دانه در سطح احتمال ۱٪ معنی دار می‌باشد. میانگین عملکرد دانه برای تمام ژنوتیپ‌ها در شرایط آبیاری تکمیلی و دیم به ترتیب ۲/۵۱۲ و ۲/۱۱۴ تن در هکتار بود. تنش خشکی باعث کاهش حدود ۱۵/۸۳ درصد عملکرد دانه در مقایسه با شرایط آبیاری تکمیلی گردید. اثربخشی ژنوتیپ در رژیم آبیاری غیرمعنی دار بود. نشان می‌دهد که پاسخ ژنوتیپ‌ها به هر دو محیط مشابه می‌باشد به عبارت دیگر عملکرد ژنوتیپ‌ها در شرایط آبیاری تکمیلی بیشتر شده است. روسنائی (۲۵) با بررسی ۲۳ ژنوتیپ گندم نان تحت شرایط آبیاری تکمیلی و دیم نشان داد که آبیاری تکمیلی باعث افزایش معنی دار عملکرد دانه شد. همچنین بین ژنوتیپ‌ها اختلاف معنی داری از نظر عملکرد دانه گزارش نمود. اسلامی و همکاران (۹) با بررسی تاثیر تنش خشکی بر مرحله ساقده‌هی و ظهور سنبله ۲۰ ژنوتیپ گندم، نشان دادند که تنش خشکی باعث کاهش معنی داری در عملکرد دانه در مقایسه با شرایط آبیاری تکمیلی گردید.

هزار خدمه‌عنونی شدند. بعد از انجام عملیات متداول تهیه زمین (شامل: شخم، پخش کود، دیسک و تسطیح)، کاشت در آبان ماه ۱۳۹۵ با دستگاه بذر کار تمام اتوماتیک انجام گردید. با توجه به نتایج آزمون خاک مزرعه، مقدار ۱۰۰ کیلوگرم در هکتار کود فسفات قبل از کاشت و ۱۰۰ کیلوگرم کود اوره در دو نوبت (یک دوم همزمان با کاشت، یک دوم در زمان خوش‌دهی به صورت کود سرک) مصرف گردید. به منظور مبارزه با علف‌های هرز در مرحله پنجه‌زنی گدم زمانی که علف‌های هرز چهار الی پنج برگه بودند از علف‌کش توفیری برای از بین بردن پهنه برگ‌ها و از علف‌کش تاپیک برای از بین بردن باریک برگ‌ها استفاده شد. شرایط آب و هوایی مغان برای سال زراعی ۱۳۹۶-۱۳۹۵ در شکل ۱ آمده است. در آزمایش آبیاری تکمیلی در مرحله گردەفشنانی آبیاری بصورت بارانی صورت گرفت و در آزمایش دیم ژنوتیپ‌ها فقط از نزولات جوی بهره‌مند شدند. برای اندازه‌گیری عملکرد زمانی که ژنوتیپ‌ها به مرحله برداشت رسیدند، با دستگاه کمباین ویتر اشتایگر آزمایش برداشت گردید.

سپس برای انجام تجزیه و تحلیل به تن در هکتار تبدیل شد. جهت تعیین میزان تحمل یا حساسیت ژنوتیپ‌ها به خشکی، هفت شاخص مقاومت به خشکی از قبیل میانگین بهره‌وری (MP)، میانگین هندسی بهره‌وری (GMP)، تحمل (TOL)، حساسیت به تنش (SSI)، تحمل به تنش (STI) و شاخص پایداری عملکرد (YSI) با استفاده از روابط زیر محاسبه شدند:

$$(1) \quad MP = \frac{Y_p + Y_s}{2}$$

$$(2) \quad GMP = \sqrt{Y_p \times Y_s}$$

$$(3) \quad TOL = Y_p - Y_s$$

$$(4) \quad STI = \frac{Y_p \times Y_s}{\bar{Y}_p^2}$$

$$(5) \quad SSI = \frac{1 - \left(\frac{Y_s}{Y_p} \right)}{1 - \left(\frac{\bar{Y}_s}{\bar{Y}_p} \right)}$$

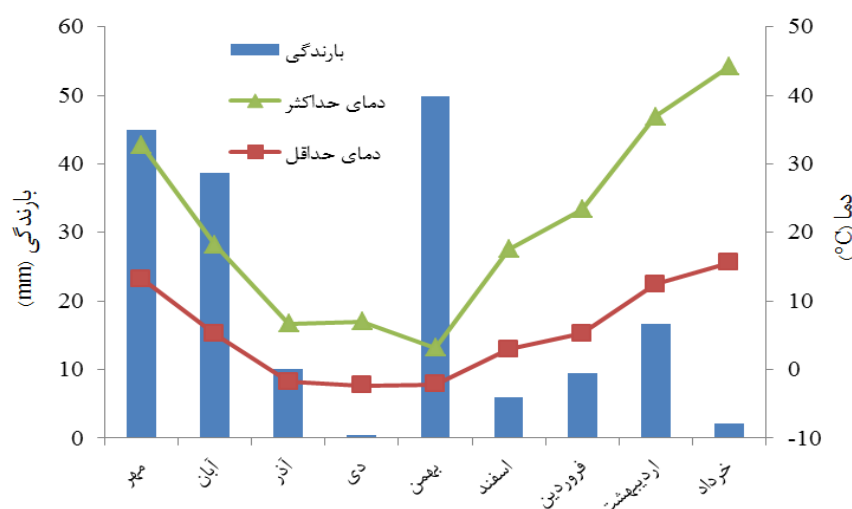
$$(6) \quad YSI = \frac{Y_s}{Y_p}$$

که در این روابط Y_p و Y_s به ترتیب عملکرد دانه هر ژنوتیپ در شرایط بدون تنش و تنش خشکی و \bar{Y}_p و \bar{Y}_s به ترتیب میانگین عملکرد دانه ژنوتیپ‌ها در شرایط بدون تنش و تنش خشکی هستند. قبل از انجام تجزیه‌های آماری ابتدا نرمال بودن داده‌ها و یکنواختی واریانس‌ها مورد تأیید قرار گرفت، سپس تجزیه واریانس ساده و مرکب برای صفت عملکرد با استفاده از نرم‌افزار SAS version 9.1 انجام پذیرفت. محاسبه SAS version 9.1

جدول ۱- پدیگری (شجره) ژنوتیپ‌های گندم نان مورد استفاده در آزمایش

Table 1. Pedigree of bread wheat genotypes used in the experiment

Genotype No	Variety / Line
1	AFTAB
2	KS82142/2*WBLL1CMSA01Y00397T-040M-040P0Y-040M-030ZTM-040SY-4M-0Y-0SY
3	KS82142/2*WBLL1CMSA01Y00397T-040M-040P0Y-040M-030ZTM-040SY-21M-0Y-0SY
4	PASTOR//HXL7573/2*BAU/3/WBLL1PTSS02Y00023S-0Y-030ZTM-040SY-040M-19Y-0M-0SY
5	TC870344/GUI//TEMPORALERAM87/AGR/3/2*WBLL1CMSA01Y00725T-040M-040P0Y-040M-030ZTM-040SY-33M-0Y-0SY
6	KS82W418/SPN/3/CHEN/AE.SQ//2*OPATA/4/FRET2CMSA01M00316T-040Y-040M-030ZTM-040SY-040M-53Y-0M-0SY
7	WHEAR/KRONSTAD F2004CGSS04Y00106S-099Y-099M-099Y-099M-13WGY-0B
8	QIMMA-8 CMS93Y00332S-1AP-3AP-3AP-0APS-0AP
9	TC870344/GUI//TEMPORALERAM87/AGR/3/2*WBLL1CMSA01Y00725T-040M-030ZTM-040SY-10M-0Y-0SY
10	FRET2*2/4/SNI/TRAP#1/3/KAUZ*2/TRAP//KAUZ/5/PFAU/WEAVER//BRAMBLINGCMSS05B00480S-099Y-099M-099Y-099ZTM-22WGY-0B
11	KAUZ//ALTAR84/AOS/3/MILAN/KAUZ/4/HUITES /7/CAL/NH//H567.71/3/SERI/4/CAL/NH//H567.71/5/2*KAUZ/6/PASTORMS05B00581S-099Y-099M-099Y-099ZTM-2WGY-0B
12	HAMAM-4/ANGI-2ICW02-00621-2AP/0TS-0AP-0AP-6AP-0AP
13	ATTILA*2/PBW65//KACHUCMSS05B00004S-099Y-099M-099Y-099ZTM-1WGY-0B
14	PBW343*2/KUKUNA//SRTU/3/PBW343*2/KHVAKICGS05B00261T-099TOPY-099M-099NJ-099NJ-6WGY-0B
15	KACHU#1/KIRITATI//KACHUCMSS06Y00778T-099TOPM-099Y-099ZTM-099NJ-099NJ-6WGY-0B
16	BABAX/KS93U76//BABAX/3/2*SOKOLLCMSA06M00008T-024(PINBD1BHET)Y-040ZTM-026(PINBD1BPOS) ZTY-20ZTM-0Y-0B
17	LAKHISH/4/NESTOR/3/HE1/3*CNO79//2*SERIIRBWG-2007-010G-0G-0G-0G-12G
18	PASTOR/4/NESTOR/3/HE1/3*CNO79//2*SERIIRBWG-2007-022G-0G-0G-0G-1G
19	GHK"S"BOW"S"/90-ZHONG87/4/NESTOR/3/HE1/3*CNO79//2*SERIIRBWG-2007-049G-0G-0G-0G-14G
20	GHK"S"BOW"S"/90-ZHONG87/4/NESTOR/3/HE1/3*CNO79//2*SERIIRBWG-2007-049G-0G-0G-0G-19G
21	BERKUT/MUU//DANPHE #1CMSA07M00073T-050Y-040ZTM-040ZTY-31ZTM-010Y-02B-0Y
22	TILILA/JUCHI/4/SERI.1B//KAUZ/HEVO/3/AMACMSS06Y00868T-099TOPM-099Y-099ZTM-099Y-099M-8WGY-0B
23	ROLF07*2/5/REH/HARE//2*BCN/3/CROC_1/AE.SQUARROSA(213)/PGO/4/HUITESCMSS 06Y00926T-099TOPM-099Y-099ZTM-099Y-099M-5WGY-0B
24	SUP152/BLOUK #1CMS06B00033S-0Y-099ZTM-099NJ-099NJ-3WGY-0B
25	MUTUS/AKURICMSS06B00451S-0Y-099ZTM-099Y-099M-3WGY-0B
26	NAC/TH.AC//3*PVN/3/MIRLO/BUC/4/2*PASTOR/5/KACHU/6/KACHUCMSS06B00734T-099TOPY-099ZTM-099Y-099M-13WGY-0B
27	KIRITATI/WBLL1//2*BLOUK #1CMS07Y00849T-099TOPM-099Y-099M-099Y-17M-0WGY
28	BAJ #1*2/WHEARCMSS07Y01201T-099TOPM-099Y-099M-099Y-15M-0WGY
29	FRET2*2/BRAMBLING//BECARD/3/WBLL1*2/BRAMBLINGCMSS07B00560T-099TOPY-099M-099Y-099M-19WGY-0B
30	KACHU/BECARD//WBLL1*2/BRAMBLINGCMSS07B00580T-099TOPY-099M-099Y-099M-10WGY-0B
31	KA/NAC//TRCH/3/VORB CMSA07M00443S-040M-0NJ-0NJ-10Y-OB
32	TACUPETOF2001*2/BRAMBLING/3/ KIRITATI/PBW65/2*SERI.1B/4/ND643/2*WBLL1CMS08Y00676T-099TOPM-099Y-099M-099NJ-099NJ-2WGY-0B
33	THELIN/3/BABAX/LR42//BABAX/4/BABAX/LR42/BABAX*2/5/KIRITATI/2*TRCHCMSS08Y00756T-099TOPM-099Y-099M-099NJ-20WGY-0B
34	MUNAL*2/WESTONIACMSS08Y00833T-099TOPM-099Y-099M-099NJ-099NJ-8WGY-0B
35	LERKE/5/KAUZ/3/MYNA/VUL//BUC/FLK/4/MILAN/6/PROGRESOF2007/7/KIRITATI/4/ 2*SERI.1B*2/3/KAUZ*2/BOW//KAUZ CMSS08B00400S-099M-099Y-25M-0WGY
36	KARIM



شکل ۱- بارش، حداقل و حداکثر دما در طول فصل زراعی ۹۵-۹۶ در مغان

Figure 1. Rainfall and minimum and maximum temperatures recorded during 2016-2017 growing season in Moghan

جدول ۲- تجزیه واریانس ساده برای صفت عملکرد دانه در شرایط آبیاری تکمیلی و دیم در گندم نان

Table 2. Analysis of variance for grain yield of bread wheat in rainfed and supplemental irrigation conditions

منابع تغییر	درجه آزادی	Yp ^a	Ys	میانگین مربuat
بلوک	۲	۷۰۲۱۹۷/۷۶ ^{**}	۱۱۹۱۷/۰۸ ^{ns}	
زنوتیپ	۳۵	۲۲۳۲۰۲/۳۸ ^{**}	۲۰۷۸۶۶/۹۱ [*]	
اشتباہ آزمایشی	۷۰	۱۲۶۹۱۰/۲۱	۱۳۲۶۱۴/۵۴	

Yp^a: عملکرد دانه تحت شرایط نرمال، Ys: عملکرد دانه تحت شرایط تنش
 ns: به ترتیب غیر معنی دار و معنی دار در سطح اختصار ۵٪ و ۱٪

جدول ۳- تجزیه واریانس مرکب برای صفت عملکرد دانه در گندم نان

Table 3. Combined analysis of variance for grain yield in bread wheat

منابع تغییر	درجه آزادی	Yp ^a	میانگین مربuat
رژیم آبیاری	۱	۸۵۴۲۴۹۶/۶۵ ^{**}	۱۱۹۱۷/۰۸ ^{ns}
بلوک / رژیم آبیاری	۴	۳۵۷۰۵۷/۳۸	۲۰۷۸۶۶/۹۱ [*]
زنوتیپ	۳۵	۳۵۶۶۳۹/۵۷ ^{**}	۱۳۲۶۱۴/۵۴
زنوتیپ × رژیم آبیاری	۳۵	۸۴۴۹۹/۴۹ ^{ns}	
اشتباہ آزمایشی	۱۴۰	۱۲۹۷۶۲/۵۳	

ns: به ترتیب غیر معنی دار و معنی دار در سطح اختصار ۵٪ و ۱٪

بود. بنابراین پایین بودن شاخص TOL^a به معنی بالا بودن عملکرد در شرایط بدون تنش نیست، بلکه ممکن است عملکرد یک ژنوتیپ در شرایط بدون تنش پایین باشد و در شرایط تنش نیز با افت کمتری همراه باشد، که این باعث کوچک ماندن TOL می‌شود (۲۰). در محاسبه شاخص SSI یک جزء به نام SI وجود دارد که به آن سختی محیط یا شدت تنش می‌گویند و هرچه این جزء بزرگتر باشد شاخص SSI کوچکتر می‌شود (۲۰). در شاخص علاوه بر میزان عملکرد لاین‌ها در شرایط تنش خشکی، تغییر یا آسیب وارده به ژنوتیپ‌ها در اثر تنش نیز مدنظر قرار می‌گیرد. بدین معنی که اگر ژنوتیپی در هر دو شرایط تنش بدون تنش دارای عملکرد بالاتری باشد اما درصد تغییر زیادی نشان دهد به عنوان ژنوتیپ متحمل شناسایی نمی‌شود، به عنوان مثال، ژنوتیپ‌های ۲۲ و ۳۴ به ترتیب با عملکردهای ۳/۱۴۳ و ۳/۰۸۹ تن در هکتار در شرایط دیم به عنوان درصد تغییر زیادی در حالی که ژنوتیپ‌های ۳ و ۲۰ با عملکرد به ترتیب ۲/۵۱۴ و ۲/۶۶۸ تن در هکتار در شرایط بدون تنش ژنوتیپ‌های متحمل شناخته شدند. نوری و همکاران (۲۲) گزارش دادند که شاخص YSI پارامتر مفیدی در تمییز ژنوتیپ‌های با پایداری بالا و حساسیت پایین به شرایط محیطی است.

همبستگی بین شاخص‌های تنش

همبستگی بین شاخص‌های تحمل به تنش خشکی و عملکرد دانه در شرایط آبیاری تکمیلی و دیم می‌تواند به عنوان معیاری مناسب برای انتخاب بهترین ژنوتیپ‌ها و شاخص‌ها به کار رود. شاخصی که با عملکرد در شرایط بدون تنش و تنش خشکی همبستگی بالا و یکسان داشته باشد به عنوان بهترین معیار جهت گزینش محسوب می‌شود (۱۶). در جدول ۵ همبستگی میان شاخص‌های تحمل به خشکی و عملکرد دانه در هر دو محیط ارائه شده است. همبستگی بین عملکرد در محیط آبیاری تکمیلی (Yp) و دیم (Ys) برابر با $r = 0.629^{**}$ بود که

شاخص‌های تحمل تنش خشکی

شاخص‌های تحمل تنش خشکی بر اساس عملکرد دانه در دو شرایط آبیاری تکمیلی و دیم محاسبه شد (جدول ۴).
 شاخص‌های میانگین بهره‌وری (MP)، میانگین هندسی بهره‌وری (GMP) و شاخص تحمل به تنش فرناندز (STI) که مقادیر بالای آنها نشان‌دهنده تحمل به تنش است، ژنوتیپ‌های شماره ۲۲، ۲۰ و ۲ را به ترتیب با عملکردهای ۲/۴۷۹، ۲/۶۱۰ و ۲/۶۴۷ تن در هکتار در شرایط دیم (تنش خشکی) به عنوان ژنوتیپ‌های متحمل به تنش خشکی معرفی کردند. این شاخص‌ها ژنوتیپ‌های ۱۷، ۷ و ۱ را به ترتیب با عملکرد ۱/۸۱۸، ۱/۷۳۰ و ۱/۷۷۸ تن در هکتار در شرایط دیم به عنوان حساس‌ترین ژنوتیپ‌ها به تنش خشکی مشخص کردند. سفارزاده و همکاران (۲۹) و صادق، زاده اهری (۲۸) در بررسی ژنوتیپ‌های گندم، به این نتیجه رسیدند که شاخص‌های MP و GMP، STI و MP به گزینی ارقام نسبت به سایر شاخص‌ها موفق‌تر بودند. سی و سه مرده و همکاران (۳۰) با ارزیابی یازده ژنوتیپ گندم نان گزارش کردند که در شرایط تنش ملایم شاخص‌های MP و STI و GMP برای شناسایی ژنوتیپ‌های با عملکرد بالا در شرایط تنش و بدون تنش مناسب هستند.

شاخص تحمل (TOL) و شاخص حساسیت به تنش (SSI) که مقادیر کمتر آنها نشان‌دهنده تحمل نسبی به تنش و شاخص پایداری عملکرد (YSI) که مقادیر بالای آن نشان‌دهنده تحمل به تنش است، ژنوتیپ‌های ۳، ۲۰ و ۱۴ را به ترتیب با عملکردهای ۲/۲۴۷، ۲/۴۹۰ و ۱/۹۸۴ تن در هکتار در شرایط دیم به عنوان ژنوتیپ‌های ۳۱، ۶ و ۲۱ را به ترتیب با عملکردهای ۱/۸۳۳، ۱/۶۹۰ و ۲/۰۵۵ تن در هکتار به عنوان ژنوتیپ‌های حساس به تنش خشکی معرفی کردند. شاخص TOL تغییر حاصل از شرایط تنش را نشان می‌دهد و هر چه تغییرات عملکرد یک ژنوتیپ در تنش کمتر باشد مقدار عددی آن نیز کوچکتر خواهد

نشان می‌دهد گزینش بر اساس عملکرد در هر دو محیط
می‌تواند ژنوتیپ‌های پرمحصول و با پایداری عملکرد خوب را

جدول -۴- شاخص‌های تحمل تنش خشکی و میانگین عملکرد دانه ژنوتیپ‌های گندم در شرایط آبیاری تکمیلی و دیم

Table 4. Drought tolerance indices and mean of grain yield in wheat genotypes under rainfed and supplemental irrigation conditions

YSI	SSI	TOL	MP	GMP	STI	Y _s	Y _p ^a	ژنوتیپ
.۰/۸۰۲	.۱/۲۵۳	.۰/۴۹۹	.۱/۹۹۷	.۱/۹۸۵	.۰/۶۲۵	.۱/۷۷۸	.۲/۲۱۷	۱
.۰/۱۵۳	.۰/۹۳۲	.۰/۳۹۶	.۲/۴۹۰	.۲/۴۸۲	.۰/۹۷۶	.۲/۲۹۲	.۲/۶۸۸	۲
.۰/۹۹۱	.۰/۰۹۹	.۰/۰۲۴	.۲/۰۰۲	.۲/۰۰۲	.۰/۹۹۲	.۲/۲۹۰	.۲/۵۱۴	۳
.۰/۸۷۳	.۰/۸۰۶	.۰/۳۱۲	.۲/۲۹۵	.۲/۲۹۰	.۰/۸۳۱	.۲/۱۳۹	.۲/۴۵۱	۴
.۰/۷۴۰	.۱/۷۷۹	.۰/۵۷۵	.۲/۱۶۱	.۲/۱۳۵	.۰/۷۲۲	.۱/۱۸۴	.۲/۴۹۹	۵
.۰/۶۹۰	.۱/۹۶۰	.۰/۷۵۸	.۲/۰۶۹	.۲/۰۳۴	.۰/۶۵۶	.۱/۶۹۰	.۲/۴۴۸	۶
.۰/۹۵۳	.۰/۲۹۸	.۰/۰۹۰	.۱/۸۶۳	.۱/۸۶۲	.۰/۵۵۰	.۱/۱۸۱	.۱/۹۰۸	۷
.۰/۹۲۹	.۰/۴۵۲	.۰/۱۶۹	.۲/۲۷۶	.۲/۲۷۵	.۰/۱۸۰	.۲/۱۹۲	.۲/۳۶۱	۸
.۰/۷۲۸	.۱/۲۷۴	.۰/۶۸۵	.۲/۱۷۱	.۲/۱۴۴	.۰/۷۲۸	.۱/۱۸۹	.۲/۵۱۳	۹
.۰/۸۴۴	.۰/۹۸۶	.۰/۳۷۲	.۲/۲۰۱	.۲/۱۹۳	.۰/۷۶۲	.۲/۰۱۵	.۲/۳۸۷	۱۰
.۰/۸۸۲	.۰/۷۴۵	.۰/۲۷۲	.۲/۱۷۲	.۲/۱۶۸	.۰/۷۴۵	.۲/۰۳۶	.۲/۳۰۸	۱۱
.۰/۸۴۵	.۰/۹۸۱	.۰/۳۵۳	.۲/۰۹۹	.۲/۰۹۱	.۰/۶۹۳	.۱/۱۹۲	.۲/۲۷۵	۱۲
.۰/۷۹۶	.۱/۲۸۹	.۰/۹۹۴	.۲/۱۷۶	.۲/۱۶۲	.۰/۷۴۱	.۱/۹۲۹	.۲/۴۲۳	۱۳
.۰/۹۷۱	.۰/۱۸۱	.۰/۰۵۸	.۲/۰۱۳	.۲/۰۱۳	.۰/۶۴۲	.۱/۹۸۴	.۲/۰۴۲	۱۴
.۰/۸۵۳	.۰/۹۲۸	.۰/۴۱۵	.۲/۶۲۳	.۲/۶۱۵	.۱/۰۸۴	.۲/۴۱۶	.۲/۸۳۱	۱۵
.۰/۸۱۶	.۱/۱۶۲	.۰/۴۶۹	.۲/۳۱۷	.۲/۳۰۵	.۰/۸۴۲	.۲/۰۸۳	.۲/۵۵۱	۱۶
.۰/۸۶۴	.۰/۸۶۰	.۰/۲۷۲	.۱/۸۶۶	.۱/۸۶۱	.۰/۵۴۹	.۱/۷۳۰	.۲/۰۰۲	۱۷
.۰/۸۹۵	.۰/۶۶۵	.۰/۲۳۹	.۲/۰۶۵	.۲/۰۶۲	.۰/۸۷۴	.۱/۹۵۰	.۲/۱۸۰	۱۸
.۰/۷۸۵	.۱/۳۶۳	.۰/۶۱۵	.۲/۵۴۸	.۲/۵۳۰	.۱/۰۱۴	.۲/۲۴۱	.۲/۸۵۶	۱۹
.۰/۹۸۵	.۰/۰۹۵	.۰/۰۴۰	.۲/۶۶۷	.۲/۶۶۷	.۱/۱۲۷	.۲/۶۴۷	.۲/۶۸۸	۲۰
.۰/۷۰۳	.۱/۱۷۸	.۰/۸۷۷	.۲/۴۸۸	.۲/۴۵۰	.۰/۹۵۱	.۲/۰۵۵	.۲/۹۲۱	۲۱
.۰/۸۳۰	.۰/۰۷۶	.۰/۵۳۳	.۲/۱۷۶	.۲/۱۶۴	.۱/۲۰۰	.۲/۶۱۰	.۲/۱۶۳	۲۲
.۰/۹۵۴	.۰/۲۹۴	.۰/۱۱۰	.۲/۱۳۰	.۲/۱۰۵	.۰/۸۴۲	.۲/۲۵۰	.۲/۴۶۰	۲۳
.۰/۹۵۹	.۰/۲۶۰	.۰/۰۹۹	.۲/۳۵۲	.۲/۳۵۲	.۰/۸۷۶	.۲/۳۰۳	.۲/۴۰۱	۲۴
.۰/۸۴۵	.۰/۹۸۱	.۰/۰۴۲	.۲/۱۹۶	.۲/۱۸۷	.۰/۹۰۳	.۲/۱۹۴	.۲/۵۹۷	۲۵
.۰/۱۰۸	.۱/۲۴۲	.۰/۰۵۹	.۲/۱۴۸	.۲/۱۳۴	.۰/۹۳۹	.۲/۱۸۹	.۲/۷۷۷	۲۶
.۰/۹۷۱	.۰/۱۸۲	.۰/۰۷۶	.۲/۵۹۶	.۲/۵۹۶	.۱/۰۶۸	.۲/۵۵۸	.۲/۶۳۴	۲۷
.۰/۷۷۹	.۱/۳۹۸	.۰/۵۶۳	.۲/۲۶۵	.۲/۲۴۷	.۰/۸۰۰	.۱/۹۸۳	.۲/۵۴۶	۲۸
.۰/۸۱۰	.۱/۲۰۰	.۰/۴۴۴	.۲/۱۲۰	.۲/۱۰۸	.۰/۷۰۴	.۱/۸۸۸	.۲/۳۲۲	۲۹
.۰/۷۷۳	.۱/۴۴۴	.۰/۵۸۷	.۲/۱۹۸	.۲/۱۷۹	.۰/۸۲۳	.۲/۰۰۴	.۲/۵۱۱	۳۰
.۰/۸۸۱	.۲/۰۲۱	.۰/۸۸۳	.۲/۲۲۵	.۲/۲۱۲	.۰/۸۲۵	.۱/۸۸۳	.۲/۷۶۶	۳۱
.۰/۷۴۸	.۱/۵۹۷	.۰/۵۶۶	.۲/۱۰۲	.۲/۱۱۹	.۰/۷۵۲	.۱/۸۸۴	.۲/۵۱۹	۳۲
.۰/۸۵۶	.۰/۹۹۹	.۰/۴۰۸	.۲/۶۳۸	.۲/۶۳۱	.۱/۰۹۷	.۲/۴۲۴	.۲/۸۴۳	۳۳
.۰/۸۰۲	.۱/۲۵۰	.۰/۶۱۰	.۲/۷۸۴	.۲/۷۶۷	.۱/۲۱۴	.۲/۴۷۹	.۳/۰۸۹	۳۴
.۰/۸۵۵	.۰/۹۱۶	.۰/۳۳۶	.۲/۱۵۲	.۲/۱۴۵	.۰/۷۲۹	.۱/۹۸۴	.۲/۳۱۹	۳۵
.۰/۹۵۵	.۰/۲۸۲	.۰/۱۱۲	.۲/۴۵۴	.۲/۴۵۴	.۰/۹۵۴	.۲/۳۹۸	.۲/۵۱۰	۳۶

a: Y_p عملکرد دانه تحت شرایط آبیاری تکمیلی، Y_s عملکرد دانه تحت شرایط دیم، STI شاخص تحمل به تنش، GMP میانگین هندسی بهرهوری، MP میانگین بهرهوری، TOL شاخص تحمل، SSI شاخص حساسیت به تنش و YSI شاخص پایداری عملکرد

جدول -۵- همبستگی بین شاخص‌های تحمل تنش خشکی و عملکرد دانه تحت شرایط آبیاری تکمیلی و دیم

Table 5. Correlation coefficient between drought tolerance indices and grain yield under rainfed and supplemental irrigation conditions

YSI	SSI	TOL	MP	GMP	STI	Y _s	Y _p ^a	
۱/۰۰۰						۱/۰۰۰	.۰/۶۲۹**	Y _p
						۱/۰۰۰	.۰/۸۸۶**	Y _s
						۱/۰۰۰	.۰/۸۹۱**	STI
						۱/۰۰۰	.۰/۹۱۵**	GMP
						۱/۰۰۰	.۰/۹۱۳**	MP
						۱/۰۰۰	.۰/۸۹۱**	TOL
						۱/۰۰۰	.۰/۸۹۰**	SSI
						۱/۰۰۰	.۰/۳۵۴*	YSI

a: Y_p عملکرد دانه تحت شرایط آبیاری تکمیلی، Y_s عملکرد دانه تحت شرایط دیم، STI شاخص تحمل به تنش، GMP میانگین هندسی بهرهوری، MP میانگین بهرهوری، TOL شاخص تحمل، SSI شاخص حساسیت به تنش و YSI شاخص پایداری عملکرد

* و **: به ترتیب غیر معنی دار و معنی دار در سطح احتمال ۵٪ و ۱٪ ns

نتایج پژوهش خلیلزاده و کربلایی خیاوی (۱۷) در خصوص تاثیر تنش شخصی و گرما بر لاین‌های پیشرفته گندم دوروم، مشخص کردند که شاخص‌های تحمل به تنش و میانگین هندسی بهره‌وری در مقایسه با شاخص‌های حساسیت به تنش، تحمل و میانگین بهره‌وری از قدرت تمايز بالاتری برای انتخاب ژنوتیپ‌های متحمل برخوردار می‌باشدند. آقائی سربزه و همکاران (۱) در مطالعه‌ای بر روی لاین‌های گندم نان در شرایط آبیاری تکمیلی و دیدم به بررسی شاخص‌های مقاومت به خشکی و کارآیی آنها پرداخته و نتیجه گرفتند از بین شاخص‌های مقاومت، میانگین بهره‌وری، شاخص تحمل به تنش و میانگین هندسی میانگین بهره‌وری در یافن ژنوتیپ‌هایی که پتانسیل عملکرد بالایی داشته و متتحمل به تنش نیز می‌باشدند از سایر شاخص‌های معرفی شده، موفق تر می‌باشند. کامرانی و همکاران (۱۵) در بررسی ژنوتیپ‌های گندم نان تحت شرایط تنش و بدون تنش خشکی اظهار نمودند که شاخص‌های STI، MP و GMP ژنوتیپ‌ها در همیستگی مثبت و سیار معنی‌داری با عملکرد ژنوتیپ‌ها در شرایط تنش و بدون تنش خشکی داشته و به همین دلیل این شاخص‌ها در شناسایی ژنوتیپ‌های دارای پتانسیل عملکرد بالا و متتحمل به تنش خشکی سیار کارآمد هستند.

تجزیه به مؤلفه‌های اصلی

تجزیه به مؤلفه‌های اصلی بر اساس شاخص‌های تحمل به تنش خشکی همراه با عملکرد در دو شرایط آبیاری تکمیلی و دیدم انجام شد (جدول ۶). با توجه به اینکه دو مؤلفه اصلی اول ۹۹/۸۷ درصد از تغییرات کل داده‌ها را بیان نمودند لذا ترسیم با پلاس بر اساس این دو مؤلفه صورت پذیرفت. از آنجایی که مؤلفه اول تغییراتی را در بر می‌گیرد که توسط مؤلفه دوم تبیین نمی‌شود و بالعکس لذا می‌توان تغییرات دو مؤلفه را به صورت عمود بر هم نمایش داد به گونه‌ای که ژنوتیپ‌ها بر اساس این دو مؤلفه در سطح نمودار با نقاطی مشخص گردند. با توجه به اینکه مؤلفه اول ۵۸/۲۶ درصد از کل تغییرات را توجیه می‌کرد و همبستگی مثبت و بالایی با عملکرد دانه در شرایط بدون تنش (Yp)، عملکرد دانه در شرایط تنش (Ys) و شاخص‌های MP، STI و GMP داشت از این بایت این مؤلفه به عنوان «مؤلفه پتانسیل عملکرد و تحمل به تنش خشکی» معروفی شد. این مؤلفه ژنوتیپ‌های دارای پتانسیل عملکرد دانه بالا و متحمل به خشکی را از ژنوتیپ‌هایی با میانگین عملکرد دانه پایین و حساس جدا می‌کند. با توجه به اینکه میزان بالای این شاخص‌ها برای ما مطلوب است بنابراین بر روی بای‌پلاس حاصل براساس مقادیر بالای این مؤلفه می‌توان ژنوتیپ‌هایی را که دارای عملکرد بالا در هر دو شرایط تنش و بدون تنش خشکی و شاخص‌های MP و STI باشد را انتخاب کنیم. در تحقیق کارگر و همکاران (۱۶) از کل تغییرات داده‌ها ۹۹/۳٪ درصد داده‌ها توسط دو مؤلفه اول توجیه شد بطوری که مؤلفه اول ۷۲/۱٪ درصد از کل تغییرات داده‌ها را بیان نمود و همبستگی مثبت و بالایی با STI و GMP، MP، Yp، Ys داشت که آن را مؤلفه «مؤلفه پتانسیل عملکرد و تحمل به تنش خشکی» معرفی کردند.

صادق زاده اهری (۲۸) و کامرانی و همکاران (۱۴) نیز همبستگی بین عملکرد دانه ژنوتیپ‌ها در دو شرایط تنش و بدون تنش خشکی را مثبت و معنی دار گزارش کردند. عملکرد دانه در شرایط آبیاری تکمیلی با شاخص‌های میانگین بهره‌وری ($r=0.91^{***}$ ، میانگین بهره‌وری هندسی $(r=0.891^{***})$ ، شاخص تحمل به تنش $(r=0.886^{***})$ و شاخص تحمل $(r=0.50^{**})$ همبستگی مثبت معنی داری در سطح احتمال 1% و با شاخص حساسیت به تنش $(r=0.354^{*})$ همبستگی مثبت معنی داری در سطح احتمال 5% داشت. شفازاده و همکاران (۲۹)، صادق زاده اهری (۲۸)، کامرانی و همکاران (۱۵) و کوچکی و همکاران (۱۹) نیز در بررسی ژنوتیپ‌های گندم ضریب همبستگی بین عملکرد دانه در دو شرایط تنش خشکی و بدون تنش را با شاخص‌های STI، GMP و MP مثبت و معنی دار گزارش نمودند. عملکرد دانه در شرایط آبیاری تکمیلی با شاخص پایداری عملکرد $(r=-0.354^{**})$ همبستگی منفی معنی دار در سطح احتمال 5% داشت. عملکرد دانه در شرایط دیم با شاخص‌های میانگین بهره‌وری $(r=0.895^{***})$ ، میانگین بهره‌وری هندسی $(r=0.913^{***})$ ، شاخص تحمل به تنش $(r=0.501^{***})$ و شاخص پایداری عملکرد $(r=0.915^{***})$ همبستگی مثبت و معنی داری در سطح 1% داشت در حالی که با شاخص حساسیت به تنش $(r=-0.501^{***})$ همبستگی منفی و معنی دار در سطح احتمال 1% و شاخص تحمل $(r=-0.359^{**})$ همبستگی منفی و معنی دار در سطح احتمال 5% داشت. به طور کلی شاخص‌هایی که در هر دو محیط تنش خشکی و بدون تنش دارای همبستگی بالایی با عملکرد دانه باشند می‌توانند به عنوان شاخص‌های مناسب معرفی شوند، چرا که این شاخص‌ها قادر به جدا سازی و شناسایی ژنوتیپ‌های با عملکرد دانه بالا در هر دو محیط می‌باشند (۱۱). با توجه به اینکه شاخص‌های میانگین بهره‌وری، میانگین بهره‌وری هندسی و شاخص تحمل به تنش فرناندز همبستگی بالایی با عملکرد در شرایط آبیاری تکمیلی و دیم نشان دادند به عنوان شاخص‌های برتر معرفی می‌شوند. بنابراین این شاخص‌ها برای گزینش و تعیین ژنوتیپ‌های متحمل به تنش خشکی انتخاب شدند که با گزارش شفازاده و همکاران (۲۹) که شاخص‌های ذکر شده را به واسطه داشتن همبستگی مثبت و معنی دار با عملکرد ژنوتیپ‌های گندم در دو شرایط بدون تنش و تنش خشکی، به عنوان معیارهای مناسب برای شناسایی ژنوتیپ‌های پرمحصول و متحمل به خشکی برای هر دو شرایط معرفی کردند، مطابقت دارد.

به اعتقاد فرناندز (۱۱) انتخاب براساس شاخص میانگین بهره‌وری موجب گزینش ژنوتیپ‌هایی با پتانسیل عملکرد بالا و انتخاب بر پایه شاخص حساسیت به تنش باعث گزینش ژنوتیپ‌های متحمل به تنش ولی با پتانسیل عملکرد پایین می‌گردد. طبق نظر وی، بهترین شاخص برای گزینش ژنوتیپ‌ها، شاخص‌های تحمل به تنش و میانگین هندسی بهره‌وری می‌باشند، زیرا که قادر به شناسایی ژنوتیپ‌هایی هستند که در هر دو محیط تنش و بدون تنش عملکرد بالای تولید می‌کنند.

جدول ۶- نتایج حاصل از تجزیه به مؤلفه‌های اصلی برای شاخص‌های تحمل به تنش و عملکرد دانه در شرایط آبیاری تكمیلی و دیم

Table 6. Principal components analysis based on drought tolerance indices and grain yield under rainfed and supplemental irrigation conditions

Y _{SI}	S _{SI}	T _O L	M _P	G _M P	S _{TI}	Y _S	Y _P ^a	درصد تجمعی واریانس	درصد واریانس	مقادیر ویژه	مؤلفه
+0.109	-0.109	-0.038	0.0460	0.0462	0.0462	-0.0435	-0.0397	58/268	58/268	4/661	۱
-0.0532	0.0532	0.0545	0.0084	0.0061	0.0057	-0.0167	0.0306	99/876	41/608	3/329	۲
-0.0446	-0.0446	0.0550	-0.0030	-0.0102	0.0077	-0.0120	0.0244	99/959	0.082	0.007	۳
-0.060	0.060	-0.071	-0.0264	-0.0172	0.0880	-0.0215	-0.0259	99/998	0.040	0.003	۴
-0.021	0.021	-0.043	0.0306	-0.0863	0.0064	-0.0306	-0.0248	100	0.001	0.001	۵

a: Y_P عملکرد دانه تحت شرایط آبیاری تكمیلی، Y_S عملکرد دانه تحت شرایط دیم، STI شاخص تحمل به تنش، GMP میانگین هندسی بهرهوری، MP میانگین بهرهوری، TOL شاخص تحمل، S_{SI} شاخص حساسیت به تنش و Y_{SI} شاخص پایداری عملکرد

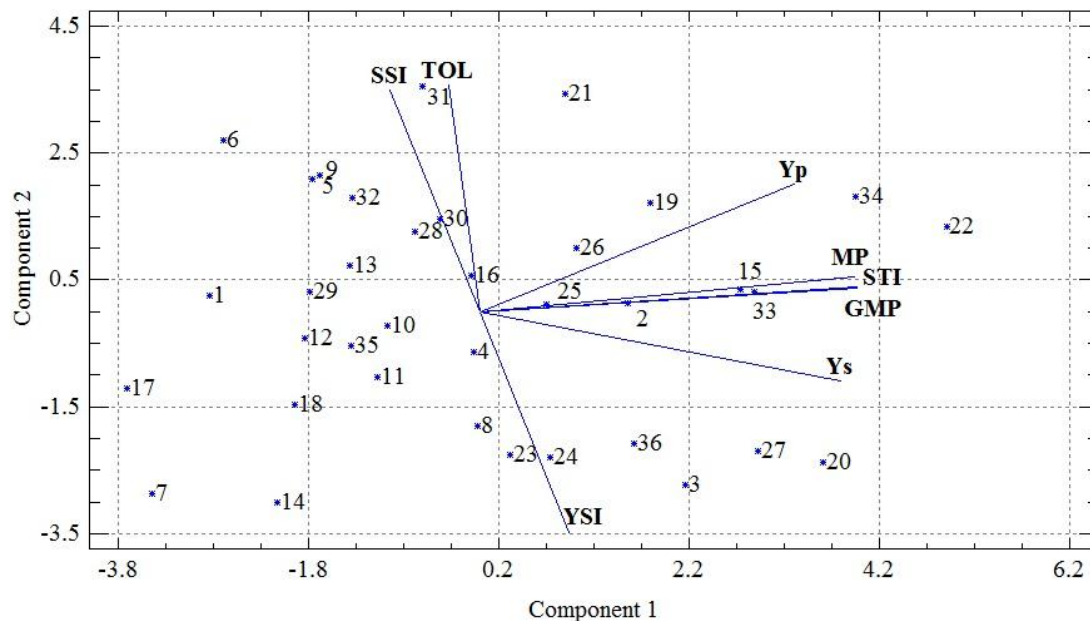
(Ys) و این شاخص‌ها بیشتر از ۹۰ درجه بود که نشان‌دهنده همبستگی منفی بین این شاخص‌ها با عملکرد دانه تحت شرایط تنش (Ys) است. عمود بر هم بودن وکتورهای شاخص STI و SSI با وکتور شاخص‌های MP، GMP و STI نشان می‌دهد همبستگی بین شاخص‌های TOL و SSI با شاخص‌های ذکر شده نزدیک به صفر است. در نمودار بای‌پلات ترسیمی (شکل ۲) ژنتیک‌های شماره ۲۲، ۳۴، ۳۳ و ۱۵ در ناحیه پتانسیل و پایداری عملکرد و تحمل به تنش خشکی (سمت راست قسمت وسط شکل ۲) قرار گرفته‌اند و به عنوان ارقام پایدار و متحمل به تنش خشکی شناسایی می‌شوند. ژنتیک‌های شماره ۷، ۱۷ و ۱ در ناحیه حساسیت به تنش خشکی و عملکرد پایین در هر دو محیط (قسمت پایین سمت چپ شکل ۲) قرار گرفته‌اند و جزء ژنتیک‌های حساس به تنش خشکی شناسایی شدنند. این عکس‌عمل‌های متفاوت نشانگر وجود تنوع ژنتیکی در بین ژنتیک‌های مورد مطالعه نسبت به شرایط خشکی می‌باشد.

ترسیم نمودار سه بعدی

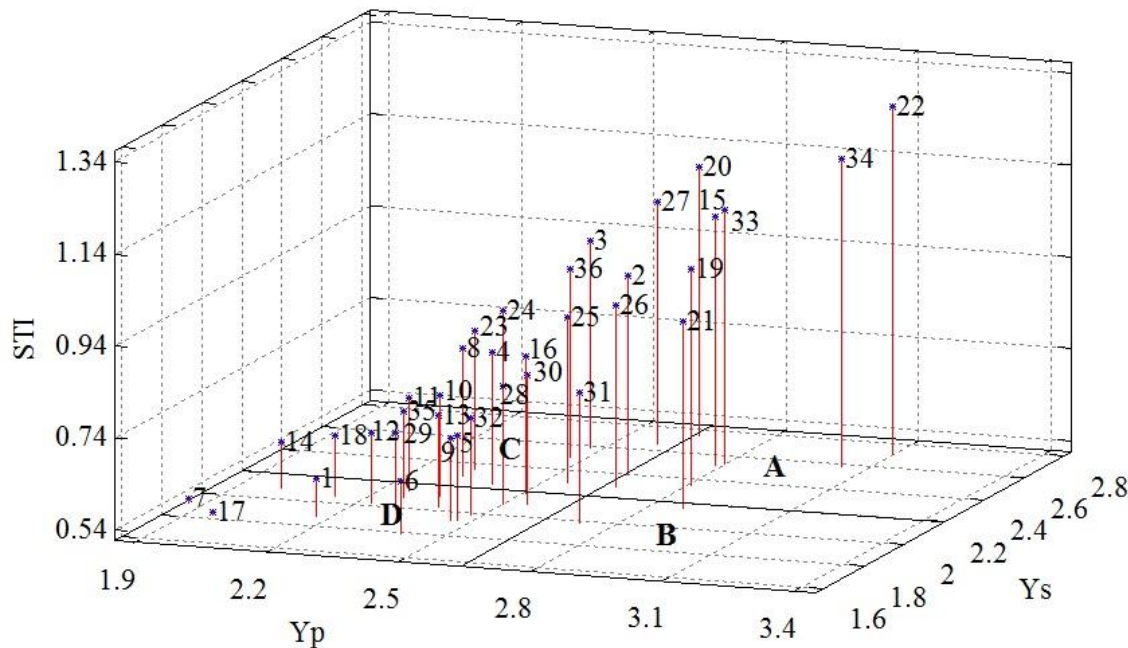
با توجه به همبستگی بالای بین شاخص‌های MP، GMP و STI نمودار سه بعدی مربوط به STI با Yp و Ys در ناحیه شده است (شکل ۳). در این شکل ژنتیک‌های شماره ۲۲، ۳۴، ۳۳، ۲۰، ۱۹ و ۱۵ در ناحیه A طبقه‌بندی فرناندز (عملکرد بالا در هر دو شرایط تنش و بدون تنش خشکی) قرار گرفتند. ژنتیک‌های پایین در هر دو شرایط تنش و بدون تنش خشکی (عملکرد پایین در نتایج با نتایج حاصل از تجزیه به مؤلفه‌های اصلی و ترسیم بای‌پلات مطابقت دارد. از نمودار سه بعدی مربوط به Yp با STI و Ys برای تشخیص ژنتیک‌های گروه A از سایر گروه‌ها در گندم دوروم (۲۱) و گندم نان (۱۵) استفاده و کارایی آنها مورد تایید شده است.

دومین مؤلفه ۴۱/۶۱ درصد از کل تعییرات را بیان نمود و همبستگی مثبت بالا با TOL و SSI و تاحدوی با Yp و همبستگی منفی با بالا YSI و تاحدوی با Ys داشت. این مؤلفه می‌تواند ژنتیک‌های با پایداری عملکرد پایین و پتانسیل عملکرد متوسط را انتخاب نماید. بنابراین این مؤلفه به «مؤلفه حساسیت به تنش و پایداری عملکرد» نامگذاری شد. این مؤلفه می‌تواند ژنتیک‌های با پایداری عملکرد بالا را انتخاب کند و از آنجایی که مقادیر کم TOL و SSI برای ما مطلوب است پس اگر در بای‌پلات حاصل نواحی با میزان پایین مؤلفه را در نظر بگیریم، می‌توانیم ژنتیک‌های با Ys بالا و TOL و SSI پایین را انتخاب کنیم.

برای مقایسه ژنتیک‌ها و همچنین روابط بین شاخص‌های تحمل به تنش خشکی، بای‌پلات ژنتیک در شاخص‌های تحمل تنش با استفاده از دو مؤلفه اول و دوم ترسیم گردید (شکل ۲). در بای‌پلات اگر زاویه بین وکتورهای دو شاخص کمتر از ۹۰ درجه باشد همبستگی مثبت بین دو شاخص وجود دارد و هرچه این زاویه کمتر باشد همبستگی شدید خواهد بود. اگر زاویه بین دو وکتور بیشتر از ۹۰ درجه باشد همبستگی بین دو شاخص منفی خواهد بود. هرچه این زاویه بیشتر باشد همبستگی شدیدتر خواهد بود. اگر زاویه ۹۰ درجه باشد بین دو شاخص همبستگی وجود ندارد (۳۳). وکتورهای مربوط به عملکرد دانه تحت هر دو شرایط تنش خشکی و بدون تنش با وکتورهای شاخص‌های STI، MP و GMP زاویه کمتر از ۹۰ درجه و تند داشتند که بیانگر همبستگی مثبت و بالا بین عملکرد دانه تحت هر دو شرایط تنش خشکی و بدون تنش با شاخص‌های تنش STI، MP و GMP است. زاویه بین وکتور عملکرد دانه تحت شرایط بدون تنش (Yp) با وکتورهای شاخص‌های TOL و SSI زاویه کمتر از ۹۰ درجه داشت. بنابراین همبستگی بین اینها مثبت بود. در حالی که زاویه بین وکتور عملکرد دانه تحت شرایط تنش



شکل ۲- بای‌پلات ژنوتیپ در شاخص‌های تحمل به تنش در ۳۶ ژنوتیپ گندم نان بر اساس دو مؤلفه اول
Figure 2. Biplot for drought resistance indices in 36 genotypes of bread wheat based on first two components



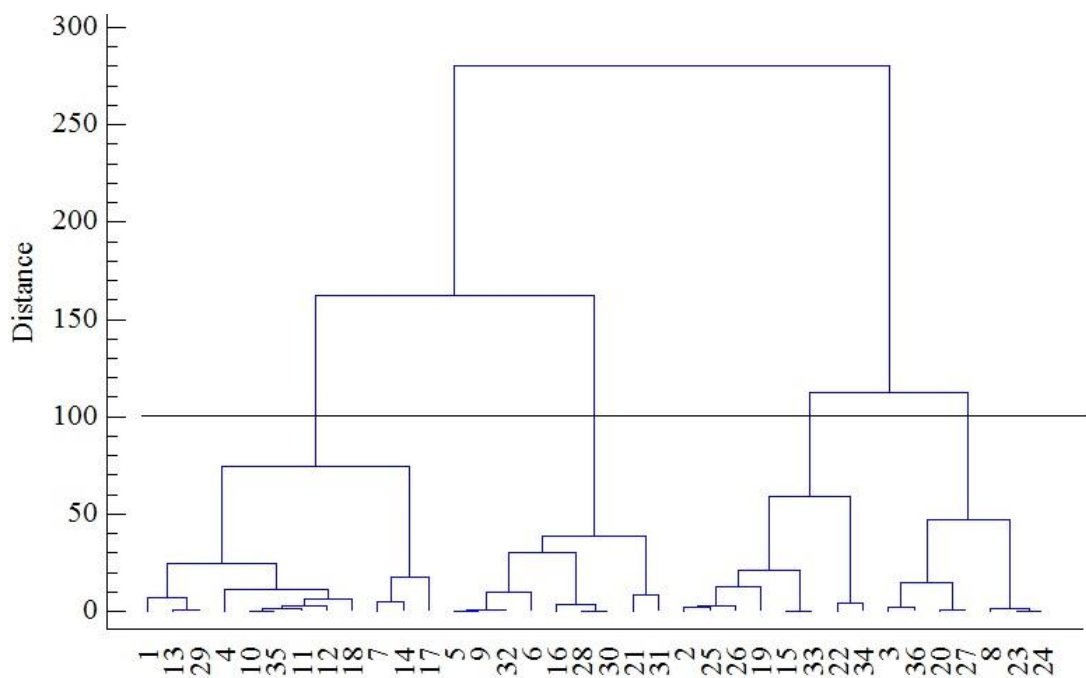
شکل ۳- نمودار سه بعدی برای شناسایی ژنوتیپ‌های متحمل به تنش خشکی با استفاده از عملکرد دانه در شرایط تنش (Yp)، بدن تنش (Ys) و شاخص تحمل به تنش (STI)

Figure 3. Three dimensional graph for selection of drought tolerant genotypes using grain yield under stress (Ys) and non-stress (Yp) conditions and stress tolerance index (STI)

عنوان گروه حساس به تنش خشکی شناخته می‌شوند. ژنوتیپ‌های موجود در این گروه در بایپلات در ناحیه حساس به تنش خشکی قرار گرفته‌اند. در گروه چهارم ژنوتیپ‌هایی با عملکرد دانه پایین در هر دو شرایط تنش و بدون تنش و مقادیر پایین شاخص‌های SSI و TOL قرار گرفته‌اند. در این گروه ژنوتیپ‌های شماره ۱۴، ۱۷، ۱۲، ۱۱، ۱۰، ۳۵، ۱۸، ۷، ۱۳، ۸۹، ۴، ۳۶ ژنوتیپ‌های شماره ۱۷، ۱۴، ۱۲، ۱۱، ۱۰، ۳۵، ۱۸، ۷، ۱۳، ۸۹، ۴، ۳۶ و ۱ قرار دارند که در بایپلات در ناحیه حساس به خشکی و در نمودار سه بعدی در ناحیه D طبقه‌بندی فرناندز قرار دارند. در مجموع نتایج این آزمایش نشان داد که آبیاری تمیلی تاثیر معنی داری بر روی افزایش عملکرد ژنوتیپ‌ها داشت. شاخص‌های MP، GMP و STI همبستگی مثبت و معنی دار با عملکرد دانه در هر دو شرایط دیم و آبیاری تکمیلی داشتند و به عنوان بهترین شاخص‌ها برای گزینش ارقام مقوم به تنش خشکی معرفی شدند. بر اساس این شاخص‌ها و تجزیه آماری چند متغیره بر اساس شاخص‌های تحمل تنش و عملکرد دانه در هر دو شرایط دیم و آبیاری تکمیلی ژنوتیپ‌های ۲۲، ۳۴، ۲۳ و ۱۵ به عنوان ژنوتیپ‌های پرمحصول و متتحمل تنش خشکی انتخاب شند.

تجزیه خوش‌های

تجزیه خوش‌های ژنوتیپ‌ها بر اساس عملکرد در شرایط تنش و بدون تنش و شاخص‌های تحمل به تنش خشکی به روش Ward's و با مربع فاصله اقلیدسی انجام شد (شکل ۴). ژنوتیپ‌ها در چهار گروه قرار گرفتند. در گروه اول ژنوتیپ‌هایی قرار گرفتند که عملکرد دانه بالا تحت شرایط تنش (Ys) و مقادیر پایین شاخص‌های SSI و TOL را داشتند. این گروه شامل ژنوتیپ‌های شماره ۲۴، ۲۳، ۲۰، ۲۷، ۸، ۲۳، ۲۴ و ۳ می‌باشد که در بایپلات در ناحیه متحمل به خشکی و در نمودار سه بعدی در ناحیه C طبقه‌بندی فرناندز قرار گرفته بودند. در گروه دوم ژنوتیپ‌های شماره ۳۴، ۳۳، ۲۲، ۱۹، ۱۵، ۲۶، ۲۵ و ۲ قرار گرفتند. این ژنوتیپ‌ها عملکرد بالا در هر دو شرایط تنش (Ys) و بدون تنش خشکی (Yp) و بیشترین مقادیر شاخص‌های MP و GMP و STI را دارند و در بایپلات در ناحیه متحمل به خشکی و در نمودار سه بعدی در ناحیه A طبقه‌بندی فرناندز قرار دارند. در گروه سوم ژنوتیپ‌های شماره ۳۱، ۳۰، ۲۱، ۲۸، ۲۰، ۱۶، ۳۲ و ۵ قرار گرفته‌اند که عملکرد دانه پایین در هر دو شرایط تنش و بدون تنش و مقادیر بالای SSI و TOL قرار دارند و به



شکل ۴- دندوگرام حاصل از تجزیه خوش‌های ۳۶ ژنوتیپ گندم نان بر اساس عملکرد دانه در شرایط تنش و بدون تنش خشکی و شاخص‌های تحمل به خشکی با استفاده از روش Ward's

Figure 4. Dendrogram of cluster analysis of 36 bread wheat genotypes based on grain yield under stress (Ys) and non-stress (Yp) conditions and drought tolerance indices using Ward's method

منابع

1. Aghaei Sarbarzeh, M., M. Rostaei, R. Mohammadi, R. Haghparast and R. Rajabi. 2009. Determination of drought tolerant genotypes in bread wheat. *Electronical journal of crop production*, 2(1): 1-23 (In Persian).
2. Aghaei-Sarbarzeh, M. and M. Rostaei. 2008. Responses genotypes advanced bread wheat to drought stress conditions in cold and cold temperate. *Abstracts of 10th Iranian Congress of Crop Production and Plant Breeding*, 18-20, August. Karaj- Iran, 217 pp (In Persian).
3. Blum, A. 1988. Plant breeding for stress environments. CRC, Inc., pp: 43-77.
4. Blum, A. 2005. Mitigation of drought stress by crop management. Available online at: <http://www.plantstress.com>.
5. Bouslama, M. and W.T. Schapaugh. 1984. Stress tolerance in soybean. I: Evaluation of three screening techniques for heat and drought tolerance. *Crop Science Journal*, 24: 33-937.
6. Calhoun, D.S., C. Gebeyehu, A. Miranda, S. Rajaram and M. Van Ginkel. 1994. Choosing evaluation environments to increase grain yield under drought conditions. *Crop Science*, 34: 673-678.
7. Chaves, M.M. and M.M. Oliveira 2004. Mechanisms underlying plant resilience to water deficits: Prospects for water-saving agriculture. *Journal of Experimental Botany*, 407: 2365-2385.
8. Dhanda, S.S. and G.S. Sethi. 2002. Tolerance to drought stress among selected Indian wheat cultivars. *Journal of Agricultural Science*, 139: 319-326.
9. Eslami R., M. Tajbakhsh, A.A. Ghafari, M. Roustaie and I. Barnousi. 2011. Evaluation of drought tolerance in drylands wheat genotypes under different moisture conditions. *Electronical journal of crop production*, 5(2): 129-143 (In Persian).
10. Falconer, D.S. 1990. Selection in different environments: effects on environmental sensitivity and on mean performance. *Genetics Research*, 56: 57-70.
11. Fernandez, G.C. 1992. Effective selection criteria for assessing plant stress tolerance. Proceeding of the international symposium on adaptation of vegetable and other food crops to temperature water stress, 13-18, August. Taiwan. pp: 257.
12. Fischer, R.A. and R. Maurer. 1978. Drought resistance in spring wheat cultivars. I. Grain yield responses. *Australian Journal of Agricultural Research*, 29: 897-912.
13. Ilker, E., O. Tartar, F. Aykut-Tonk and M. Tosun. 2011. Determination of tolerance level of some wheat genotypes to post-anthesis drought. *Turkish Journal of Field Crop*, 16(1): 59-63.
14. Kamrani, M., A. Farzi and A. Ebadi. 2015. Evaluation of grain yield performance and tolerance to drought stress in wheat genotypes using drought tolerance indices. *Cereal Research*, 5(3): 231-246 (In Persian).
15. Kamrani, M., A. Farzi and M. Shiri. 2017. Evaluation of Drought Tolerance in Some wheat Genotypes using Drought Tolerance Indices. *Journal of Crop Breeding*, 9: 9-17 (In Persian).
16. Kargar, S.M.A., M.R. Ghannadha, R. Bozorgi-Pour and H.A. Babaei. 2004. An investigation of drought tolerance indices in some soybean genotypes under restricted irrigation conditions. *Iranian Journal of Agricultural Science*, 35(1): 129-142 (In Persian).
17. Khalilzade, G.H. and H. Karbalai-Khiavi. 2002. Investigation of drought and heat stress on advanced lines of durum wheat. 7th Iranian congress of crop sciences. 24-26, August. karaj, Iran, pp: 563.
18. Kobota, T.J., A. Palta and N.C. Turner. 1992. Rate of development of postanthesis Water deficits and grain filling of Spring Wheat. *Crop Science*, 32: 1238-1242.
19. Koocheki, A.R., A. Yazdansepas and H.R. Nikkhah. 2005. Effects of terminal drought on grain yield and some morphological traits in wheat (*Triticum aestivum L.*) genotypes. *Iranian Journal of Crop Sciences*, 8(1): 14-29.
20. Moghaddam, A. and M. Hadizadeh. 2002. Response of corn (*zea mays L.*) hybrids and their parental lines to drought using different stress tolerance indices. *Seed and Plant*, 18(3): 255-272 (In Persian).
21. Mohammadnia, S., A. Asghari, O. Sofalian, H. Mohammaddoust-ChamanAbad and R. Karimizadeh. 2016. Evaluation of Durum Wheat Lines using Drought Stress Indices. *Journal of Crop Breeding*, 14: 41-53 (In Persian).
22. Nouri, A., A. Etminan, J.A. Teixeira da Silva and R. Mohammadi. 2011. Assessment of yield, yield-related traits and drought tolerance of durum wheat genotypes (*Triticum turjidum* var. durum Desf.), *Australian Journal of Crop Science*, 5(1): 8-16.
23. Oweis, T. 1997. Supplemental Irrigation: A highly efficient water-use practice. International Center for Agricultural Research in the Dry Areas (ICARDA), Aleppo, Syria.
24. Passioura, J. 2007. The drought environment: physical, biological and agricultural perspectives. *Journal of Experimental Botany*, 2: 113-117.
25. Roostaei, M. 2015. Effect of Supplementary Irrigation on Grain Yield and some Agronomic Traits of Bread Wheat Genotypes in Maragheh Conditions of Iran. *Seed and Plant Improvement Journal*, 1-31: 205-225 (In Persian).
26. Roselli, A. and J. Hamblin. 1981. Theoretical aspects of selection for yield in stress and non-stress environment. *Crop Science*, 21: 943-946.
27. Saba, J., M. Moghaddam, K. Ghassemi and M.R. Nishabouri. 2001. Genetic properties of drought resistance indices. *Journal of Agricultural Science and Technology*, 3: 43-49 (In Persian).
28. Sadeghzade-Ahari, D. 2006. Evaluation of drought stress tolerance in durum elite wheat genotypes. *Iranian Journal of Agricultural Science*, 8: 30-45 (In Persian).

29. Shafazadeh, M., A. Yazdan Sepas, A. Amini and M. Ghanadha. 2004. Study of terminal drought tolerance in promising winter and facultative wheat genotypes using stress susceptibility and tolerance indices. *Seed and Plant*, 20(1): 57-71 (In Persian).
30. Sio-Se Mardeh, A., A. Ahmadi, K. Poustini and V. Mohamadi. 2006. Evaluation of drought resistance indices under various environmental conditions. *Field crop Research*, 98: 222-229.
31. Stone, L.R. and A.J. Schlegel. 2006. Yield-water supply relationships of grain sorghum and winter wheat. *Agronomy journal*, 98: 1359-1366.
32. Vij, S. and A.K. Tyagi. 2007. Emerging trends in the functional genomics of the abiotic stress response in crop plants. *Journal of Plant Biotechnology*5: 361-380.
33. Yan, W. and M.S. Kang. 2003. *GGE Biplot Analysis: A Graphical Tool for Breeders, Geneticists and Agronomists*. CRC Press LLC, Boca Roton, Florida.

Identification of Drought Tolerant Genotypes in Dryland Wheat using Drought Tolerance Indices

Morteza Kamrani¹, Asghar Mehraban² and Manouchehr Shiri³

1- Associated Professor, University of Mohaghegh Ardabili.
(Corresponding author: kamrani@uma.ac.ir)

2- Assistant Professor, Ardabil Agricultural and Natural Resources Research and Education Center, Agricultural Research, Education and Extension Organization (AREEO), Ardabil, Iran.

3- Assistant Professor, University of Mohaghegh Ardabili

Received: January 6, 2018

Accepted: April 3, 2018

Abstract

Among different environmental stresses, drought is of great importance that induces a highly negative effect on crop production. In order to evaluate drought tolerance in dryland wheat genotypes, 36 genotypes were studied in a randomized complete block design with three replications under rainfed (drought stress) and supplemental irrigation conditions during 2016–2017 growing season in Research Farm of Moghan College of Agriculture and Natural Resources. Results showed that there are significant differences among genotypes for grain yield in both rainfed and supplemental irrigation conditions. Combined analysis of variance over two experiments showed that drought stress significantly increased grain yield. Under supplemental irrigation conditions, the genotypes 22, 34 and 21 had the highest grain yield by an average of 3.143, 3.089 and 2.921 t/ha and under rainfed condition, genotypes 20, 22 and 27 produced the highest grain yield with an average of 2.647, 2.610 and 2.558 t/ha, respectively. In order to identify drought tolerance genotypes, drought resistant indices such as tolerance index (TOL), stress susceptibility index (SSI), mean productivity (MP), geometric mean productivity (GMP), stress tolerance index (STI) and yield stability index (YSI) were used. GMP, MP and STI indices were highly correlated with grain yield under both stress and non-stress conditions. Therefore, they were introduced as suitable indices to identify superior genotypes for both environmental conditions. Based on principal component analysis and three dimensional graph, genotypes 22, 34, 33 and 15 were identified as drought tolerant genotypes and 7, 17, 14 and 1 were identified as drought sensitive genotypes. Cluster analysis with Ward's method based on grain yield under supplemental irrigation (Yp) and rainfed (Ys) conditions and drought tolerance indices divided the 36 genotypes into four major groups. Therefore, this result was consistent by results from principal component analysis.

Keywords: Bread wheat, Supplemental irrigation, Drought stress, Grain yield, Drought tolerance indices